

## ДОСЛІДЖЕННЯ ЕВОЛЮЦІЇ РОЗПАДУ Й ЧАСУ ІСНУВАННЯ РАДІОАКТИВНИХ ЯДЕР

Н. Л. Дорошко, М. Е. Долинська

Інститут ядерних досліджень НАН України,  
просп. Науки, 47, Київ-22, 03022, Україна

(Отримано 6 липня 2000 р.; в остаточному вигляді — 28 грудня 2000 р.)

Кvantovomehanichnyj metod, kij bulo zaproponovano ranishe dla teoretychnogo opisu rezonansnogo rozsejennja  $\gamma$ -kvantiv, uzagal'nyeno z urakhuvannjem efektu Doplera i zaстosovanu dla doslidzhennya evoluciї rozpadu i chasu jittja radioaktivnykh yader. Zaproponovano noviy algoritm dla vyznachennya xarakteristichnykh funktsiy rozpodilu energeticheskikh imovirnostej rozpadu i funktsiy rozpadu. Zrobленo teoretychnye obgruuntuvannya neobxidnosti pereglyadu chasovix xarakteristik yader-hronometrov. Pроведено rozrahnunki dla konkretnykh vypadkov rozpadu zbudzhennih yader pri kimnatih temperaturah z urakhuvannjem efektu Doplera ta bez n'yoego.

**Ключові слова:** evoluciya rozpadu, intensivnist' rozpadu, chas jittja, efekt Doplera, yaderna hronometriya.

PACS number(s): 03.65.Bz; 03.65.Ge; 03.50.De

### I. ВСТУП

В усіх відомих на сьогодні методах дослідження еволюції радіоактивних перетворень і ланцюжків розпаду брали до уваги часи існування лише основних станів ядер, що розпадаються. Але тривалість  $s$ - і  $r$ -процесів ядерного випромінювання охоплює не тільки основні, а й усі можливі стани синтезованих ядер, які могли бути сформовані. Відомо, що  $\alpha$ - і  $\beta$ -розпади збуджених ядер проходять значно швидше, ніж розпади з основних станів. Відомо також, що  $\gamma$ -розпад зі збудженого стану на наступний енергетичний рівень відбувається так швидко (з типовим наносекундним або навіть меншим інтервалом), що практично недоцільно зважати на повільніші процеси  $\alpha$ - і  $\beta$ -розпадів із цих станів.

Слід також відзначити, що донедавна ніхто не брав до уваги і  $\gamma$ -поглинання, що відбувається перед  $\gamma$ -випромінюванням, під час якого  $\gamma$ -промені поширюються у великих об'ємах речовини всередині зірок, супернових, планет. Якщо витрати на віддачу в процесах випромінювання й поглинання були скомпенсовані кінетичною енергією руху ядер у межах розподілу теплових швидкостей, то таке явище не тільки існує, але й може бути багаторазовим.

Таким чином, усе сказане дозволяє зробити висновок, що еволюція і тривалість розпаду материнських радіоактивних ядер визначається:

а) часовим розподілом утворення цих ядер в усіх можливих збуджених станах;

б) кінетикою всіх можливих  $\gamma$ -переходів (випромінювання — наступне поглинання — подальше випромінювання — ...) у речовині;

в) зв'язками між  $\alpha$ - і  $\beta$ -розпадами в межах кожного збудженого стану.

Коли врахувати все це, то можна оцінити розподіл різних станів  $\alpha$ - і  $\beta$ -розпадів збуджених ядер, що може суттєво змінити остаточні результати оцінок

усіх часових інтервалів, які характеризують еволюцію ланцюжків розпаду. Це може мати важливе значення в ядерній хронометрії, яка використовує радіоактивний розпад для вимірювання проміжків часу в геології, археології, астрофізиці. Так, в [1] на простих прикладах було доведено, що скориговані належним чином показники "ядерного годинника" в низці випадків можуть відповідати значно меншим значенням тривалостей реальних процесів розпаду ядер-хронометрів, а, значить, і "віку" об'єктів, у яких вони відбуваються.

### II. ТЕОРЕТИЧНИЙ ОПИС ЕВОЛЮЦІЇ РОЗПАДУ ЗБУДЖЕНИХ ЯДЕР

#### A. Застосування теореми Крилова-Фока

Для опису еволюції розпаду, на відміну від сьогоднішніх праць, які базуються, як правило, на методах класичної електродинаміки, ми пропонуємо квантovomehanichnyj pidhod, zhoyt gruntuyetsya na teoreme Krylova-Foka [2], uzagal'nyenij dla zmishanih staniv (koli proces rozpadu ansamblju chastinok v'ibduvaetsya одночасно з його утворенням) [3], завдяки чому й дозволяє враховувати згадані вище чинники.

Цей підхід ми уже застосовували в [4] для теоретичного обґрунтuvання часового розподілу  $\gamma$ -kvantiv, rezonansno rozsejennja ydrami Fe<sup>57</sup> v messbaueriv'skix eksperimentakh. Ale, na v'ibmuni v'od [4], v tsii praci b'ilo враховано dopleriv'skiy efekt, zhoy d'ae smogu vyznachati imovirnosti rozpadu ta chasi jittja zbudzhennih yader pri riznih temperaturoakh.

Для максимального спрощення аналізу обмежмось ідеальним випадком довгоживучого radioaktivnogo yadra, jake v pevnij pochatkovij moment chasu ( $t = 0$ ) rozpodilene u dvox stanakh (osnovnomu i pershomu zbudjenomu).

Тоді, згідно з [3], функції розпаду  $L(t)$  і  $L_0(t)$ , що характеризують розпад деякого початкового (першого збудженого) і наступного (основного) станів відповідно (більш строго вони називаються функціями виживання), подамо у вигляді

$$L(t) = |p(t)|^2 / |p(0)|^2, \quad (1)$$

$$L_0(t) = |p_0(t)|^2 / |p_0(0)|^2, \quad (2)$$

де

$$p_0(t) = \int_0^\infty |G_0(\varepsilon)|^2 \exp(-i\varepsilon t/\hbar) d\varepsilon, \quad (3)$$

$$p(t) = \int_0^\infty |G(\varepsilon)|^2 \exp(-i\varepsilon t/\hbar) d\varepsilon \quad (4)$$

характеристичні функції розподілу енергії в основному й першому збудженному станах відповідно, а

$$\begin{aligned} |G_0(\varepsilon)|^2 &= \text{const}[(\varepsilon_1 - \varepsilon)^2 \\ &+ \Gamma_1^2/4]^{-1}[(\varepsilon_0 - \varepsilon)^2 + \Gamma_0^2/4]^{-1}, \end{aligned} \quad (5)$$

$$|G(\varepsilon)|^2 = \text{const}[(\varepsilon_1 - \varepsilon)^2 + \Gamma_1^2/4]^{-1} \quad (6)$$

імовірності розподілу енергії в цих станах. Тут  $\Gamma_0$  і  $\Gamma_1$  та  $\varepsilon_0$  і  $\varepsilon_1$  — ширини й енергії основного й першого збудженого станів відповідно.

Імовірності й швидкості розпадів визначатимуться виразами:

$$W_0(t) = 1 - L_0(t); \quad \rho_0(t) = dW_0(t)/dt \quad (7)$$

для основного стану і

$$W(t) = 1 - L(t); \quad \rho(t) = dW(t)/dt \quad (8)$$

для першого збудженого стану, а інтенсивність розпаду

$$I(t) = \int_0^t dt' \rho_0(t') \rho(t-t'). \quad (9)$$

Для визначення часу життя  $\tau$  радіоактивного ядра й періоду його напіврозпаду  $T_{1/2}$  можна скористатися такими виразами:

$$\tau = \int t I(t) dt / \int I(t) dt, \quad (10)$$

$$T_{1/2} = \tau \ln 2. \quad (11)$$

## В. Вплив теплового руху атомів на характеристики процесів розпаду

Відомо, що реальна ширина ліній випромінювання й поглинання визначається не природною шириною  $\Gamma$ , а доплерівським розширенням

$$D = 2\sqrt{\varepsilon_r k T}, \quad (12)$$

яке пояснюється різним доплерівським зміщенням ліній, що спостерігаються у випромінюванні неоднаковими атомами, завдяки відмінності у швидкостях і напрямках їхнього руху.

Розглянемо деякі приклади, які наочно демонструють вплив цього ефекту на характеристики процесів розпаду.

Відмінність ширин  $\Gamma$  і  $D$  дає змогу оцінити кількість ланок  $\gamma$ -поглинань і  $\gamma$ -випромінювань для конкретних радіоактивних ядер за співвідношеннями:  $N\varepsilon < D$  (для  $T \cong 300$  К) та  $N\varepsilon \ll D$  (для  $T \cong 1 \cdot 10^9$  К). Так, для  $\text{Fe}^{57}$   $N < 7$  (для кімнатних температур) і  $N \ll 13326$  (для зоряних температур). Відповідно до залежності  $N(t) = 2\sqrt{\varepsilon_r k T}/\varepsilon_r$  [1] підвищення температури речовини на 1 процент приводить до збільшення кількості ланок  $\gamma$ -процесів на 0.5 процента. Це не має великого значення для кімнатних температур, оскільки зміна  $T$ , наприклад, на 10 К викликає зміну  $N$  всього на 0.0123, і стає суттєвою для зоряних температур (зміна  $T$ , наприклад, на 100 К змінює  $N$  на 263). Доплерівське розширення значно впливає і на тривалість реальних процесів. Оцінити відмінність часу життя збудженого ядра з урахуванням ефекту Доплера від звичайного можна за допомогою виразу  $\tau^D = \tau - (\Gamma_0/\hbar)^{-1} \ln 2$  [1]. Так, для  $\text{Fe}^{57}$   $\tau = 9.455 \cdot 10^{-10}$  с, а  $\tau^D = 3.081 \cdot 10^{-10}$  с, тобто час життя радіоактивного ядра  $\text{Fe}^{57}$ , розрахований з урахуванням доплерівського розширення, менший від часу життя, яким звичайно користуються в ядерній фізиці, приблизно в 3 рази. Аналогічні оцінки можна зробити і для інших ядер.

## С. Урахування доплерівського розширення

Усе сказане свідчить про те, що для точнішого визначення інтенсивності розпаду  $I(t)$ , а значить, і часу життя  $\tau$  збудженого ядра, необхідно врахувати максвеллівську функцію розподілу за енергією

$$f(\varepsilon) d\varepsilon = -\frac{1}{\sqrt{\pi D}} \exp\left(-\frac{(\varepsilon - \varepsilon_r)^2}{D^2}\right) d\varepsilon, \quad (13)$$

де  $\varepsilon_r = \varepsilon_\gamma^2/2\mu c^2$  — кінетична енергія віддачі ядер після випромінювання чи поглинання  $\gamma$ -квантів,  $\varepsilon_\gamma$  — енергія  $\gamma$ -квантів, а  $D$  — доплерівська ширина для резонансного випромінювання чи поглинання.

Щоб знайти реальні функції розподілу енергій як функції енергій  $\gamma$ -квантів з урахуванням доплерівського розширення (а значить, і реальні інтенсивності, і тривалості життя), необхідно їх усереднити за всіма можливими значеннями відносної енергії  $\varepsilon$ , тобто треба помножити (5) і (6) на (13) і проінтегрувати за  $\varepsilon$ , замінивши при цьому енергію ядра на енергію  $\gamma$ -кванта ( $\varepsilon_\gamma = \varepsilon - \varepsilon_0 - \varepsilon_r + D$  при  $\Gamma_1 \gg \Gamma_0$ ).

#### D. Результати обчислень

На підставі розробленого алгоритму за допомогою числових методів було зроблено розрахунки для конкретних випадків розпаду збуджених  $\beta$ -активних ядер  $K^{40}$  і  $Rb^{87}$  при кімнатних температурах з урахуванням ефекту Доплера і за його відсутності. На графіках наведені ймовірності розпаду для збуджених ядер  $K^{40}$  і  $Pb^{87}$  з урахуванням ефекту Доплера ( $W^D(t)$ ) (рис. 1) і без нього ( $W(t)$ ) (рис. 2), інтенсивності розпаду цих ядер без урахування ефекту Доплера (рис. 3) та інтенсивності розпаду з урахуванням доплерівського ефекту для  $K^{40}$  (рис. 4) і для  $Rb^{87}$  (рис. 5) відповідно при кімнатних температурах.

Результати розрахунків свідчать, що залежність інтенсивності розпаду від часу з урахуванням ефекту Доплера має такий самий характер, що і за його відсутності (див. рис. 3–5), але в першому випадку вона точніша. Стверджувати це нам дозволяють рис. 1 і рис. 2, які демонструють, що залежність  $W^D(t)$  має характер, аналогічний  $W(t)$  (повторюється з тою ж самою періодичністю), але має більшу частоту, а значить, і більшу чутливість до зміни температури. Ймовірності й інтенсивності розпаду для  $K^{40}$  значно більші, ніж для  $Rb^{87}$ , що відповідає співвідношенню невизначеності час-енергія, оскільки, чим більша ширина рівня, тим більшими мають бути ймовірності й інтенсивності розпадів і меншими часи життя відповідних станів.

Інтенсивність розпаду з урахуванням ефекту Доплера ( $I^D(t)$ ), як і очікувалося, значно більша (приблизно в 10 разів), ніж без урахування цього ефекту ( $I(t)$ ), а це означає, що час життя відповідних збуджених станів розглянутих радіоактивних ядер має бути (відповідно до залежності (10)) теж приблизно в 10 разів меншим за розрахованій попередніми методами. Це дає право стверджувати, що вік об'єктів, обчислені методами ядерної хронометрії, насправді значно більший від реального.

Розроблений метод дозволяє проводити аналогічні розрахунки для різних ядер і при різних температурах, що робить можливим його практичне застосування в ядерній хронометрії, наприклад, для точнішого визначення віку астрофізичних тіл і часу розпаду радіоактивних відходів, а також для оцінки кількості ланцюгів  $\gamma$ -поглинань і  $\gamma$ -випромінювань ядер-хронометрів у процесі їхнього розпаду.

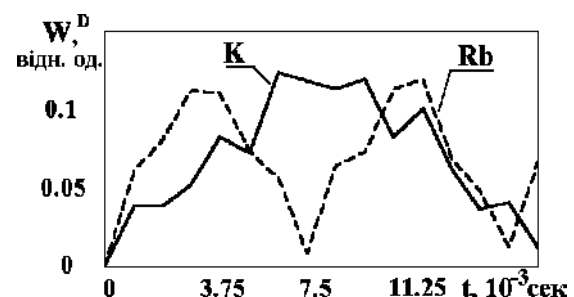


Рис. 1. Залежності ймовірностей розпаду від часу для  $K^{40}$  і  $Rb^{87}$  з урахуванням ефекту Доплера.

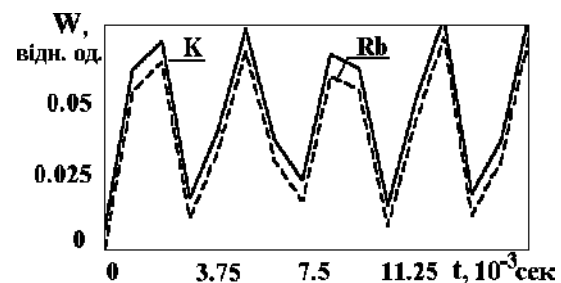


Рис. 2. Залежності ймовірностей розпаду від часу для  $K^{40}$  і  $Rb^{87}$  без урахування ефекту Доплера.

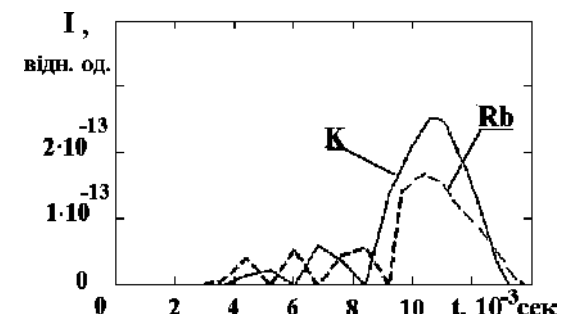


Рис. 3. Залежності інтенсивностей розпаду від часу для  $K^{40}$  і  $Rb^{87}$  без урахування ефекту Доплера.

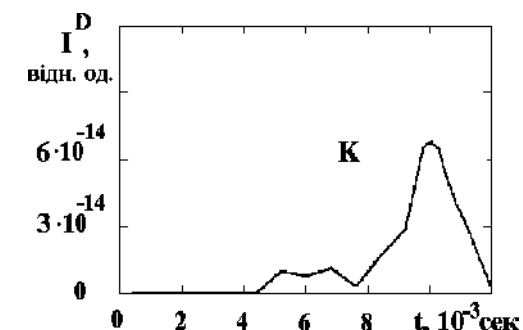


Рис. 4. Залежність інтенсивності розпаду від часу для  $K^{40}$  з урахуванням ефекту Доплера.

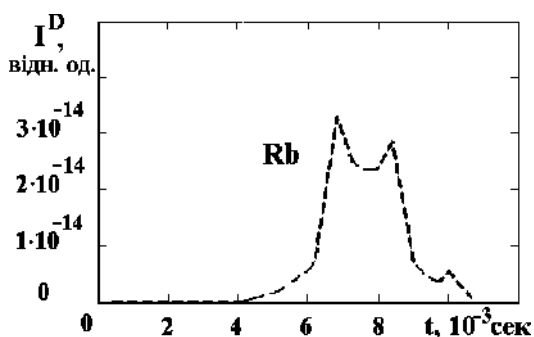


Рис. 5. Залежність інтенсивності розпаду від часу для  $Rb^{87}$  з урахуванням ефекту Доплера.

### III. ВИСНОВКИ

Звичайно, здобуті результати можна розглядати лише як перший крок у реалізації точнішого й повнішого дослідження еволюції розпаду радіоактивних

ядер і подальшого застосування його результатів для нуклеохронологічного аналізу.

На наступному етапі досліджень уважаємо доцільним розглянути всі можливі багаторазові  $\gamma$ -переходи (випромінювання — наступне поглинання — подальше випромінювання після поглинання і т. д.) усередині зразка речовини з урахуванням ширин розпадів і поперечних перерізів для всіх необхідних збуджених станів проміжних і кінцевих ядер при одночасному розгляді процесів формування та розпаду ядер-хронометрів. З метою надійного обчислення  $W(t)$ ,  $L(t)$ ,  $I(t)$  і  $\tau$  необхідно також розглянути тепловово-швидкісні розподіли з конкретними значеннями  $\varepsilon_r$  для конкретних ядер-хронометрів при доцільних температурах.

Над частиною із цих питань ми вже розпочали роботу. Зокрема, проводимо розрахунки  $W(t)$ ,  $L(t)$ ,  $I(t)$  і  $\tau$  для  $\alpha$ -активних ядер  $U^{238}$  і  $Th^{232}$  з урахуванням тепловово-швидкісних розподілів із конкретними значеннями  $\varepsilon_r$  при кімнатних і зоряних температурах, що, безумовно, дасть змогу точніше оцінити вік Землі і Всесвіту.

- 
- [1] V. S. Olkhovsky, V. I. Grantsev, preprint KINR-98-1 (Kyiv, 1998).
  - [2] H. С. Крилов, В. А. Фок, Журн. экспр. теор. физ. 17, 93 (1947).
  - [3] В. С. Ольховский, Изв. Акад. Наук СССР, сер. физ. 49, № 5, 938 (1985).
  - [4] Н. Л. Дорошко, В. С. Ольховский, Г. А. Прокопец, Изв. Акад. Наук СССР, сер. физ. 54, № 5, 988 (1990).

### THE INVESTIGATION OF THE DECAY EVOLUTION AND LIFETIMES OF RADIOACTIVE NUCLEI

N. L. Doroshko, M. E. Dolinska

Institute for Nuclear Research, National Academy of Sciences of Ukraine,  
47 Nauky pr., Kyiv, UA-03022, Ukraine  
e-mail: maidan@kinr.kiev.ua

The quantum-mechanical method which was proposed earlier for the theoretical description of the resonance scattering of the  $\gamma$ -quantum was generalized taking into account the Doppler effect. A new algorithm for the definition of the characteristic functions for the energy distribution, decay probability and decay functions was elaborated. It gives a possibility estimating of more precise the temporary characteristics of the nuclei-chronometers and defining the number of the steps of the  $\gamma$ -absorption  $\gamma$ -emission in the decay process. The calculations have been done for the concrete case of excited  $Fe^{57}$  nuclei decay at room temperature taking into account the Doppler effect and also independently of the said effect.

It gives the quantum-mechanical grounding for the revision of the temporary characteristics of the nuclei-chronometers. It is shown that the methods of the nuclear chronometry have to be revised and corrected taking into account distinctions between lifetimes of the ground and excited states for radioactive nuclei and also the multiple alternations of  $\gamma$ -emission from excited states and consequent  $\gamma$ -absorptions by the ground states in large jams of matter. As a result the corrected "nuclear clocks" will fall short in terms of their duration of the real decay processes.